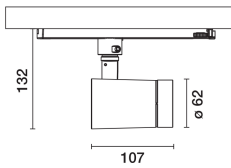


Dernière mise à jour des informations: Mars 2025

**Configuration du produit: RQ47**

RQ47: Corps Ø62mm - BLE Casambi - optique Wideflood



**Référence produit**

RQ47: Corps Ø62mm - BLE Casambi - optique Wideflood

**Description technique**

Projecteur orientable avec adaptateur pour installation sur rail à tension de réseau. Source LED à rendu de couleur élevé (IRC97) de tonalité 4000K et système optique OptiBeam Lens, optique WideFlood. Corps éclairant en aluminium moulé sous pression et en matière thermoplastique, permet une rotation de 360° autour de l'axe vertical et une inclinaison de 90° dans le plan horizontal, avec blocages mécaniques de l'orientation. Dissipation de chaleur passive. Projecteur avec système « Push&Go » pouvant contenir jusqu'à trois accessoires plats à la fois. Possibilité d'utiliser le même système pour l'application d'un composant externe supplémentaire, au choix entre déflecteurs directionnels et écran anti-éblouissement. Tous les accessoires intérieurs et extérieurs sont orientables sur 360° par rapport à l'axe longitudinal du projecteur. Corps équipé d'un groupe d'alimentation gradable avec protocole Casambi, positionné à l'intérieur de l'adaptateur sur rail du produit. Les composants utilisés permettent de commander les produits depuis l'application et les composants du système Casambi, en activant les fonctions de on-off, gradation, rappel de scènes et le fonctionnement simultané de plusieurs appareils sur un réseau maillé Casambi. Fréquence Bluetooth 2.4 GHz. L'application est disponible sur Apple Store et Google Play Store. Balise intégrée et activable à travers application (iBeacon) qui active les fonctions smart pour applications de tiers et application de notification push Jiminy.

**Installation**

Installation sur rail à tension de réseau.

**Coloris**

Blanc (01) | Noir (04)

**Poids (Kg)**

0.51

**Montage**

fixé à un rail 3 allumages|applique murale|suspendu à un rail 3 allumages|en saillie au plafond

**Remarque**

Distance max entre deux produits 8 m.

La distance max est influencée par la présence d'obstacles physiques de type murs, panneaux métalliques et par la disposition de l'installation.

Conforme à la norme EN60598-1 et à la réglementation en vigueur (ou à la réglementation relative)



**Données techniques**

|  |      |   |  |
|--|------|---|--|
| Im du système:                                   | 1178 | MacAdam Step:                               | 2  |
| W du système:                                    | 19.4 | Durée de vie LED 1:                         | > 50,000h - L90 - B10 (Ta 25°C)  |
| Im source:                                       | 1570 | Code Lampe:                                 | LED  |
| W source:  | 17   | Nombre de lampes par groupe optique:        | 1  |
| Efficacité lumineuse (lm/W, valeurs du système): | 60.7 | Code ZVEI:                                  | LED  |
| Im en mode secours:                              | -    | Nombre de groupes optiques:                 | 1  |
| Flux total émis à un angle de 90° ou plus [Lm]:  | 0    | Facteur de puissance:                       | Voir Notice de montage   |
| Light Output Ratio (L.O.R.) [%]:                 | 75   | Courant d'appel:                            | 5 A / 50 µs  |
| Angle d'ouverture [°]:                           | 46°  | Nombre maximal d'appareils par disjoncteur: | B10A: 31 appareils<br>B16A: 50 appareils<br>C10A: 52 appareils<br>C16A: 85 appareils |
| IRC (minimum):                                   | 97   | Protection de surtension:                   | 4kV Mode commun e 2kV Mode différentiel  |
| Température de couleur [K]:                      | 4000 | Control:                                    | Casambi  |

**Polaire**

|  |   |            |     |     |      |
|--|---|------------|-----|-----|------|
| <p>Imax=1883 cd<br/>90° 180° 90°<br/>2000<br/>0°<br/>α=46°</p> | <p><b>CIE</b><br/>nL 0.75<br/>95-100-100-100-75<br/>UGR 21.2-21.2<br/><b>DIN</b><br/>A.61<br/><b>UTE</b><br/>0.75A+0.00T<br/>F*1=950<br/>F*1+F*2=997<br/>F*1+F*2+F*3=1000</p> | <b>Lux</b> |     |     |      |
|  |   | h          | d   | Em  | Emax |
|  |   | 2          | 1.7 | 357 | 471  |
|  |   | 4          | 3.4 | 89  | 118  |
|  |   | 6          | 5.1 | 40  | 52   |
| 8  | 6.8   | 22         | 29  |     |      |

Coefficients d'utilisation

| R    | 77 | 75 | 73 | 71 | 55 | 53 | 33 | 00 | DRR |
|------|----|----|----|----|----|----|----|----|-----|
| K0.8 | 66 | 62 | 59 | 57 | 61 | 59 | 59 | 56 | 75  |
| 1.0  | 69 | 66 | 63 | 61 | 65 | 63 | 62 | 60 | 80  |
| 1.5  | 73 | 71 | 69 | 67 | 70 | 68 | 67 | 65 | 86  |
| 2.0  | 76 | 74 | 72 | 71 | 73 | 71 | 71 | 68 | 91  |
| 2.5  | 77 | 76 | 75 | 74 | 75 | 74 | 73 | 71 | 94  |
| 3.0  | 78 | 77 | 76 | 75 | 76 | 75 | 74 | 72 | 96  |
| 4.0  | 79 | 78 | 78 | 77 | 77 | 77 | 76 | 74 | 98  |
| 5.0  | 80 | 79 | 79 | 78 | 78 | 77 | 76 | 74 | 99  |

Courbe limite de luminance

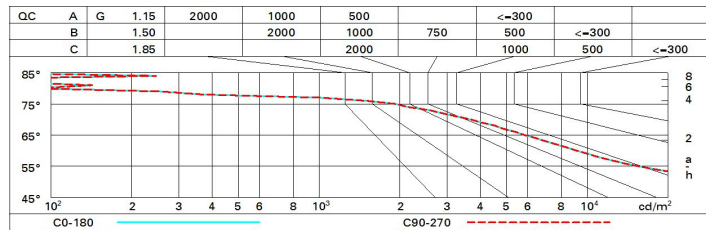


Diagramme UGR

| Corrected UGR values (at 1570 lm bare lamp luminous flux) |      |                  |      |      |      |      |                |      |      |      |      |
|---|------|------------------|------|------|------|------|----------------|------|------|------|------|
| Reflect.:   |      | viewed crosswise |      |      |      |      | viewed endwise |      |      |      |      |
| ceil/cav  |      | 0.70             | 0.70 | 0.50 | 0.50 | 0.30 | 0.70           | 0.70 | 0.50 | 0.50 | 0.30 |
| walls   |      | 0.50             | 0.30 | 0.50 | 0.30 | 0.30 | 0.50           | 0.30 | 0.50 | 0.30 | 0.30 |
| work pl.  |      | 0.20             | 0.20 | 0.20 | 0.20 | 0.20 | 0.20           | 0.20 | 0.20 | 0.20 | 0.20 |
| Room dim  |      | viewed crosswise |      |      |      |      | viewed endwise |      |      |      |      |
| x   | y    |                  |      |      |      |      |                |      |      |      |      |
| 2H  | 2H   | 21.8             | 22.4 | 22.1 | 22.6 | 22.9 | 21.8           | 22.4 | 22.1 | 22.6 | 22.9 |
|   | 3H   | 21.7             | 22.2 | 22.0 | 22.5 | 22.8 | 21.7           | 22.2 | 22.0 | 22.5 | 22.8 |
|   | 4H   | 21.6             | 22.1 | 21.9 | 22.4 | 22.7 | 21.6           | 22.1 | 21.9 | 22.4 | 22.7 |
|   | 6H   | 21.5             | 22.0 | 21.9 | 22.3 | 22.6 | 21.5           | 22.0 | 21.9 | 22.3 | 22.6 |
|   | 8H   | 21.5             | 21.9 | 21.8 | 22.3 | 22.6 | 21.5           | 21.9 | 21.9 | 22.3 | 22.6 |
|   | 12H  | 21.4             | 21.9 | 21.8 | 22.2 | 22.6 | 21.5           | 21.9 | 21.8 | 22.2 | 22.6 |
| 4H  | 2H   | 21.6             | 22.1 | 21.9 | 22.4 | 22.7 | 21.6           | 22.1 | 21.9 | 22.4 | 22.7 |
|   | 3H   | 21.5             | 21.9 | 21.8 | 22.2 | 22.6 | 21.5           | 21.9 | 21.8 | 22.2 | 22.6 |
|   | 4H   | 21.4             | 21.8 | 21.8 | 22.1 | 22.5 | 21.4           | 21.8 | 21.8 | 22.1 | 22.5 |
|   | 6H   | 21.3             | 21.6 | 21.7 | 22.0 | 22.4 | 21.3           | 21.6 | 21.7 | 22.0 | 22.4 |
|   | 8H   | 21.2             | 21.6 | 21.7 | 22.0 | 22.4 | 21.2           | 21.6 | 21.7 | 22.0 | 22.4 |
|   | 12H  | 21.2             | 21.5 | 21.7 | 21.9 | 22.4 | 21.2           | 21.5 | 21.7 | 21.9 | 22.4 |
| 8H  | 4H   | 21.2             | 21.6 | 21.7 | 22.0 | 22.4 | 21.2           | 21.6 | 21.7 | 22.0 | 22.4 |
|   | 6H   | 21.2             | 21.4 | 21.6 | 21.9 | 22.3 | 21.2           | 21.4 | 21.6 | 21.9 | 22.3 |
|   | 8H   | 21.1             | 21.3 | 21.6 | 21.8 | 22.3 | 21.1           | 21.3 | 21.6 | 21.8 | 22.3 |
|   | 12H  | 21.1             | 21.2 | 21.6 | 21.7 | 22.2 | 21.1           | 21.2 | 21.6 | 21.7 | 22.2 |
| 12H   | 4H   | 21.2             | 21.5 | 21.7 | 21.9 | 22.4 | 21.2           | 21.5 | 21.7 | 21.9 | 22.4 |
|   | 6H   | 21.1             | 21.3 | 21.6 | 21.8 | 22.3 | 21.1           | 21.3 | 21.6 | 21.8 | 22.3 |
|   | 8H   | 21.1             | 21.2 | 21.6 | 21.7 | 22.2 | 21.1           | 21.2 | 21.6 | 21.7 | 22.2 |
| Variations with the observer position at spacing:         |      |                  |      |      |      |      |                |      |      |      |      |
| S =   | 1.0H | 4.3 / -9.9       |      |      |      |      | 4.3 / -9.9     |      |      |      |      |
|   | 1.5H | 7.0 / -13.3      |      |      |      |      | 7.0 / -13.3    |      |      |      |      |
|   | 2.0H | 9.0 / -15.4      |      |      |      |      | 9.0 / -15.4    |      |      |      |      |